

## TT 18 F, TD 18 F, DT 18 F

**Elektrische Eigenschaften****Electrical properties****Höchstzulässige Werte****Maximum rated values**

Periodische Vorwärts- und Rückwärts-Spitzenspannung	repetitive peak forward off-state and reverse voltages	$t_{vj} = -40^\circ\text{C} \dots t_{vj \max}$	$V_{DRM}, V_{RRM}$	800, 1000	V
Vorwärts-Stoßspitzenspannung	non repetitive peak forward off-state voltage	$t_{vj} = -40^\circ\text{C} \dots t_{vj \max}$	$V_{DSM} = V_{DRM}$	1100	V
Rückwärts-Stoßspitzenspannung	non repetitive peak reverse voltage	$t_{vj} = +25^\circ\text{C} \dots t_{vj \max}$	$V_{RSM} = V_{RRM}$	1200	V
Durchlaßstrom-Grenzeffektivwert Dauergrenzstrom	RMS on-state current average on-state current	$t_C = 85^\circ\text{C}$ $t_C = 61^\circ\text{C}$	$I_{TRMSM}$	40	A
Stoßstrom-Grenzwert	surge current	$t_{vj} = 25^\circ\text{C}, t_p = 10 \text{ ms}$ $t_{vj} = t_{vj \max}, t_p = 10 \text{ ms}$ $t_{vj} = 25^\circ\text{C}, t_p = 10 \text{ ms}$ $t_{vj} = t_{vj \max}, t_p = 10 \text{ ms}$	$I_{TAVM}$	18	A
Grenzlastintegral	$\int i^2 dt$ -value	$t_{vj} = 25^\circ\text{C}, t_p = 10 \text{ ms}$ $t_{vj} = t_{vj \max}, t_p = 10 \text{ ms}$	$I_{TSM}$	22,5	A
Kritische Stromteilheit	critical rate of rise of on-state current	$v_D \leq 67\% V_{DRM}, f_0 = 50 \text{ Hz}$	$\int i^2 dt$	390	A
Kritische Spannungsteilheit	critical rate of rise of off-state voltage	$V_L = 8 \text{ V}, I_{GM} = 0,6 \text{ A}, di/dt = 0,6 \text{ A}/\mu\text{s}$ $t_{vj} = t_{vj \max}, V_D = 67\% V_{DRM}$	$(di/dt)_{cr}$	760	$\text{A}^2\text{s}$
		$t_{vj} = t_{vj \max}, V_D = 67\% V_{DRM}$	$(dv/dt)_{cr}$	610	$\text{A}^2\text{s}$
		6. Kennbuchstabe/6th letter B		100	$\text{A}/\mu\text{s}$
		6. Kennbuchstabe/6th letter C		50	$\text{V}/\mu\text{s}$
		6. Kennbuchstabe/6th letter L		500	$\text{V}/\mu\text{s}$
		6. Kennbuchstabe/6th letter M		500	$\text{V}/\mu\text{s}$
				1000	$\text{V}/\mu\text{s}$

**Charakteristische Werte****Characteristic values**

Durchlaßspannung	on-state voltage	$t_{vj} = t_{vj \max}, i_T = 80 \text{ A}$	$V_T$	max.	2,35	V
Schleusenspannung	threshold voltage	$t_{vj} = t_{vj \max}$	$V_{T(TO)}$		1,2	V
Ersatzwiderstand	slope resistance	$t_{vj} = t_{vj \max}$	$r_T$		14	$\text{m}\Omega$
Zündstrom	gate trigger current	$t_{vj} = 25^\circ\text{C}, V_D = 6 \text{ V}$	$I_{GT}$	max.	150	$\text{mA}$
Zündspannung	gate trigger voltage	$t_{vj} = 25^\circ\text{C}, V_D = 6 \text{ V}$	$V_{GT}$	max.	2,5	V
Nicht zündender Steuerstrom	gate non trigger current	$t_{vj} = t_{vj \max}, V_D = 6 \text{ V}$	$I_{GD}$	max.	5	$\text{mA}$
Nicht zündende Steuerspannung	gate non trigger voltage	$t_{vj} = t_{vj \max}, V_D = 0,5 V_{DRM}$	$V_{GD}$	max.	0,2	V
Haltestrom	holding current	$t_{vj} = 25^\circ\text{C}, V_D = 6 \text{ V}, R_A = 10 \Omega$	$I_H$	max.	200	$\text{mA}$
Einraststrom	latching current	$t_{vj} = 25^\circ\text{C}, V_D = 6 \text{ V}, R_{GK} \geq 20 \Omega$	$I_L$	max.	600	$\text{mA}$
Vorwärts- und Rückwärts-Sperrstrom	forward off-state and reverse currents	$i_{GM} = 0,6 \text{ A}, di/dt = 0,6 \text{ A}/\mu\text{s}, t_g = 10 \mu\text{s}$ $t_{vj} = t_{vj \max}, V_D = V_{DRM}, V_R = V_{RRM}$	$i_D, i_R$	max.	8	$\text{mA}$
Zündverzug	gate controlled delay time	$t_{vj} = 25^\circ\text{C}, i_{GM} = 0,6 \text{ A}, di/dt = 0,6 \text{ A}/\mu\text{s}$ siehe Techn. Erl./see Techn. Inf.	$t_{gd}$	max.	1,2	$\mu\text{s}$
Freiwerdezeit	circuit commutated turn-off time		$t_q$	C:	12	$\mu\text{s}^3)$
				D:	15	$\mu\text{s}$
				E:	20	$\mu\text{s}$
Isolations-Prüfspannung	insulation test voltage	RMS, $f = 50 \text{ Hz}, t = 1 \text{ min}$	$V_{ISOL}$		2,5	kV

**Thermische Eigenschaften****Thermal properties**

Innerer Wärmewiderstand	thermal resistance, junction to case	$\Theta = 180^\circ\text{el}, \sinus:$ pro Modul/per module pro Zweig/per arm DC: pro Modul/per module pro Zweig/per arm	$R_{thJC}$	max.	0,6	$^\circ\text{C/W}$
Übergangs-Wärmewiderstand	thermal resistance, case to heatsink	pro Modul/per module pro Zweig/per arm	$R_{thCK}$	max.	0,1	$^\circ\text{C/W}$
Höchstzul. Sperrschiichttemperatur Betriebstemperatur Lagertemperatur	max. junction temperature operating temperature storage temperature			max.	0,2	$^\circ\text{C/W}$
				$t_{vj \max}$		125°C
				$t_{C op}$		- 40°C ... +125°C
				$t_{stg}$		- 40°C ... +125°C

**Mechanische Eigenschaften****Mechanical properties**

Si-Elemente glaspassiviert, Lötkontakt	Si-pellets glass-passivated, soldered contact					$\text{Al}_2\text{O}_3$
Innere Isolation	internal insulation					
Anzugsdrehmomente	tightening torques					
mechanische Befestigung	mounting torque					
elektrische Anschlüsse	terminal connection torque	Toleranz/tolerance $\pm 15\%$				
Gewicht	weight	Toleranz/tolerance + 5%/- 10%				
Kriechstrecke	creepage distance					
Schwingfestigkeit	vibration resistance					
Maßbild	outline	$f = 50 \text{ Hz}$	M1		4	Nm
			M2		4	Nm
			G		typ. 160 g	
					12,5 mm	
					5 - 9,81 m/s <sup>2</sup>	
					1	

1) Werte nach DIN 41787 (ohne vorausgehende Kommutierung)/Values to DIN 41787 (without prior commutation)

2) Unmittelbar nach der Freiwerdezeit/immediately after turn-off time

3) Nur mit dv/dt-Klasse B oder L/Only with dv/dt-class B or L

Daten der Dioden siehe unter DD 22 S

For data of the diode refer to DD 22 S

Recognized by UNDERWRITERS LABORATORIES INC.

## TT 18 F, TD 18 F, DT 18 F

**Bild/Fig. 1, 2, 3**  
 Höchstzulässige Strombelastbarkeit in Abhängigkeit von der Halbschwingsdauer für einen Zweig bei:  
 sinusförmigem Stromverlauf,  
 der angegebenen Gehäusetemperatur  $t_c$ ,  
 Vorwärts-Sperrspannung  $V_{DM} \leq 0,67 V_{DRM}$ ,  
 Freiwerdezeit  $t_o$  gemäß 5. Kennbuchstaben,  
 Spannungssteilheit  $dv_D/dt$  gemäß 6. Kennbuchstaben.

## Ausschaltverlustleistung:

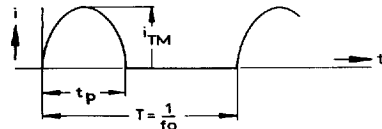
- berücksichtigt für den Betrieb bei  $f_o = 50$  Hz...0,5 kHz für  $dv_R/dt \leq 500$  V/ $\mu$ s und Anstieg auf  $v_{RM} \leq 0,67 V_{RRM}$ ;
- nicht berücksichtigt für Betrieb bei  $f_o \geq 1$  kHz. Diese Kurven gelten jedoch für den Betrieb mit antiparalleler Diode oder  $dv_R/dt \leq 100$  V/ $\mu$ s und Anstieg auf  $v_{RM} \leq 50$  V.

Maximum allowable current load versus halfwave duration per arm at:

sinusoidal current waveform,  
 given case temperature  $t_c$ ,  
 forward off-state voltage  $V_{DM} \leq 0,67 V_{DRM}$ ,  
 circuit commutated turn-off time  $t_o$  according to 5th code letter,  
 rate of rise of voltage  $dv_D/dt$  according to 6th code letter.

## Turn-off losses:

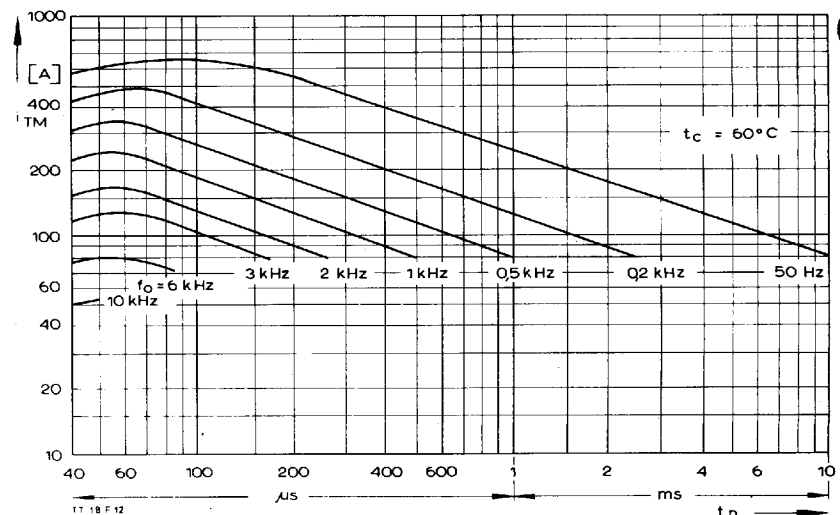
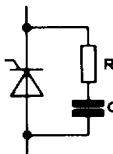
- taken into account for operation at  $f_o = 50$  Hz to 0,5 kHz for  $dv_R/dt \leq 500$  V/ $\mu$ s and rise up to  $v_{RM} \leq 0,67 V_{RRM}$ ;
- not taken into account for operation at  $f_o \geq 1$  kHz.  
 But the curves are valid for operation with inverse paralleled diode or  $dv_R/dt \leq 100$  V/ $\mu$ s and rise up to  $v_{RM} \leq 50$  V.



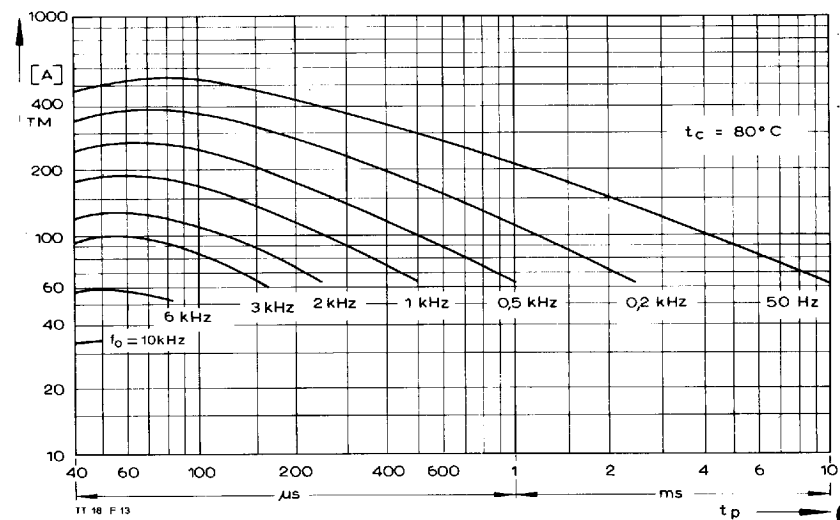
Parameter: Wiederholfrequenz  $f_o$  [kHz]  
 Repetition rate  $f_o$  [kHz]

Steuergenerator/Pulse generator:  
 $V_L = 8$  V,  $i_G = 0,6$  A,  $t_a = 1$   $\mu$ s

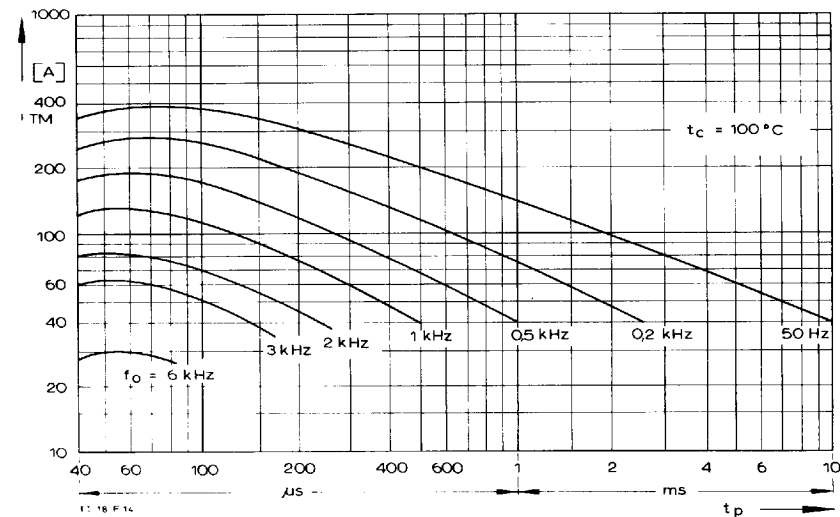
RC-Glied/RC network:  
 $R [\Omega] \geq 0,05 \cdot V_{DM}$  [V]  
 $C \leq 0,068 \mu\text{F}$



Bild/Fig. 1



Bild/Fig. 2



Bild/Fig. 3

## TT 18 F, TD 18 F, DT 18 F

Bild/Fig. 4, 5, 6

Höchstzulässige Strombelastbarkeit in Abhängigkeit von der Stromsteilheit für einen Zweig bei:  
 trapezförmigem Stromverlauf,  
 der angegebenen Gehäusetemperatur  $t_c$ ,  
 Vorwärts-Sperrspannung  $v_{DM} \leq 0.67 v_{DRM}$ ,  
 Freiwerdezeit  $t_q$  gemäß 5. Kennbuchstaben,  
 Spannungssteilheit  $dv/dt$  gemäß 6. Kennbuchstaben.

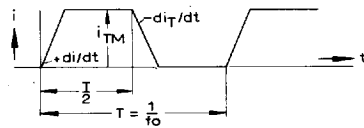
Ausschaltverlustleistung berücksichtigt; die Kurven gelten für:

- Betrieb mit antiparalleler Diode oder  
 $dv_R/dt \leq 100 \text{ V}/\mu\text{s}$  bei Anstieg auf  $v_{RM} \leq 50 \text{ V}$
- - -  $dv_R/dt \leq 500 \text{ V}/\mu\text{s}$  und Anstieg auf  $v_{RM} = 0.67 v_{DRM}$ .

Maximum allowable current load versus rate of rise of current per arm at:  
 trapezoidal current waveform,  
 given case temperature  $t_c$ ,  
 forward off-state voltage  $v_{DM} \leq 0.67 v_{DRM}$ ,  
 circuit commutated turn-off time  $t_q$  according to 5th code letter,  
 rate of rise of voltage  $dv/dt$  according to 6th code letter.

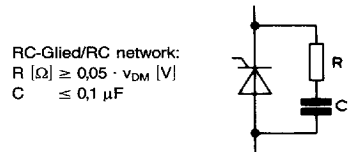
Turn-off losses taken into account; the curves apply for:

- Operation with inverse paralleled diode or  $dv_R/dt \leq 100 \text{ V}/\mu\text{s}$  rising up to  $v_{RM} \leq 50 \text{ V}$ .
- - -  $dv_R/dt \leq 500 \text{ V}/\mu\text{s}$  rising up to  $v_{RM} = 0.67 v_{DRM}$ .

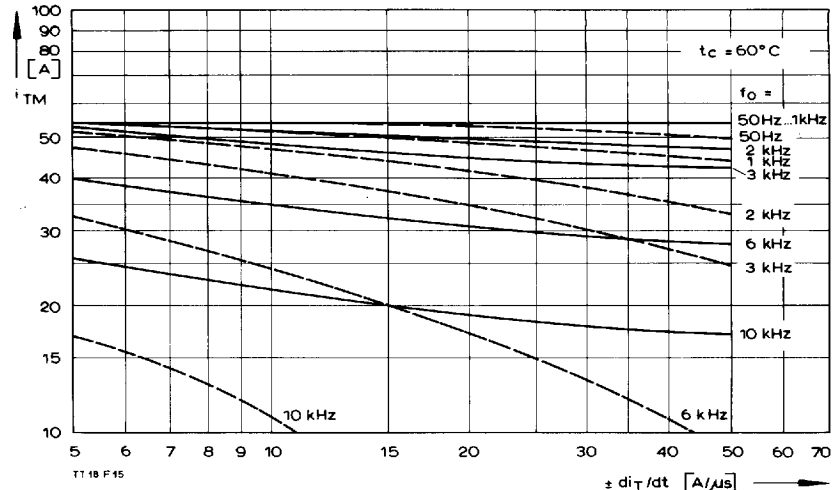


Parameter: Wiederholfrequenz  $f_0$  [kHz]  
 Repetition rate  $f_0$  [kHz]

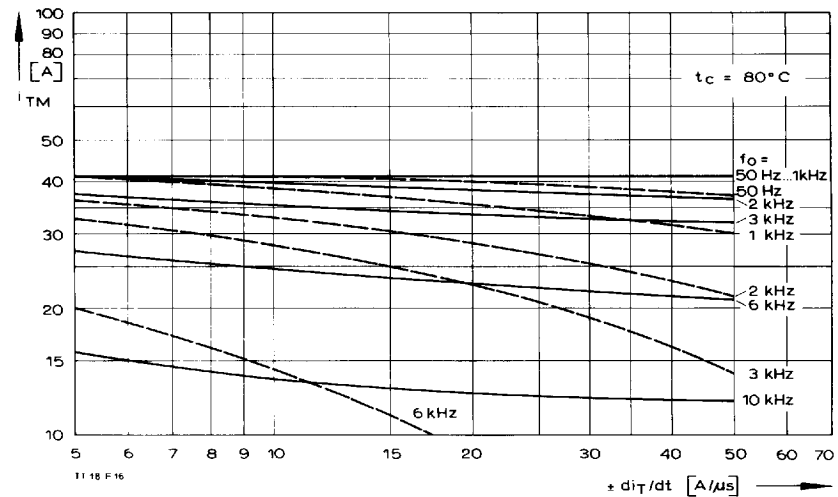
Steuergenerator/Pulse generator:  
 $v_L = 8 \text{ V}$ ,  $i_G = 0.6 \text{ A}$ ,  $t_a = 1 \mu\text{s}$



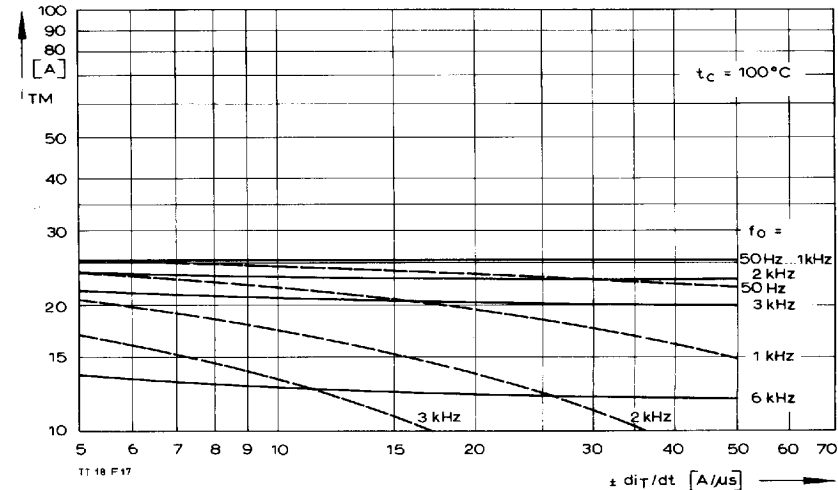
RC-Glied/RC network:  
 $R [\Omega] \geq 0.05 \cdot v_{DM} [\text{V}]$   
 $C \leq 0.1 \mu\text{F}$



Bild/Fig. 4



Bild/Fig. 5



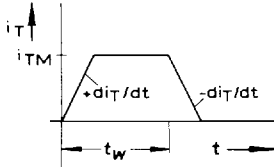
Bild/Fig. 6

## TT 18 F, TD 18 F, DT 18 F

Bild/Fig. 7, 8

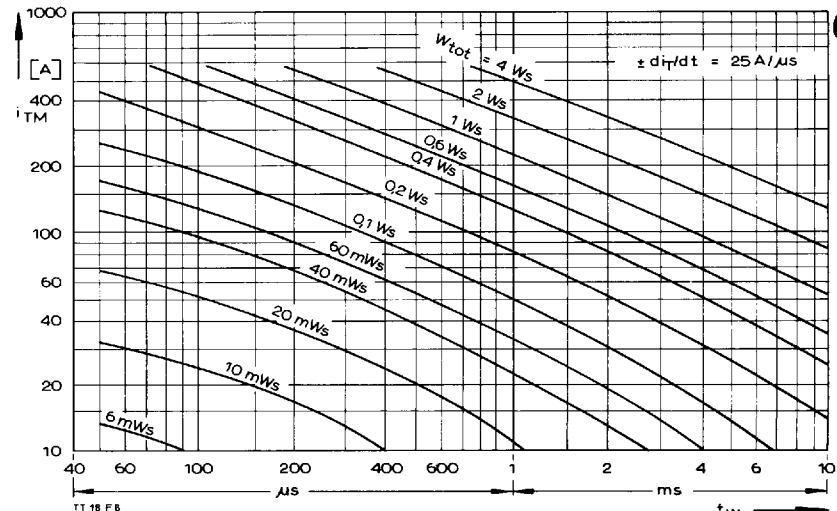
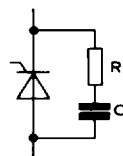
Diagramme zur Ermittlung der Gesamtenergie  $W_{tot}$  für einen trapezförmigen Durchlaß-Strompuls, für einen Zweig bei:  
der angegebenen Stromsteilheit  $di_T/dt$ ,  
Vorwärts-Sperrspannung  $V_{DM} \leq 0,67 V_{DRM}$ ,  
Rückwärts-Sperrspannung  $V_{RM} \leq 50 V$ ,  
Spannungssteilheit  $dv_R/dt \leq 100 V/\mu s$ .

Diagram for the determination of the total energy  $W_{tot}$  for a trapezoidal current pulse for one arm at:  
given rate of rise of on-state current  $di_T/dt$ ,  
forward off-state voltage  $v_{DM} \leq 0,67 V_{DRM}$ ,  
maximum reverse voltage  $v_{RM} \leq 50 V$ ,  
rate of rise of off-state voltage  $dv_R/dt \leq 100 V/\mu s$ .

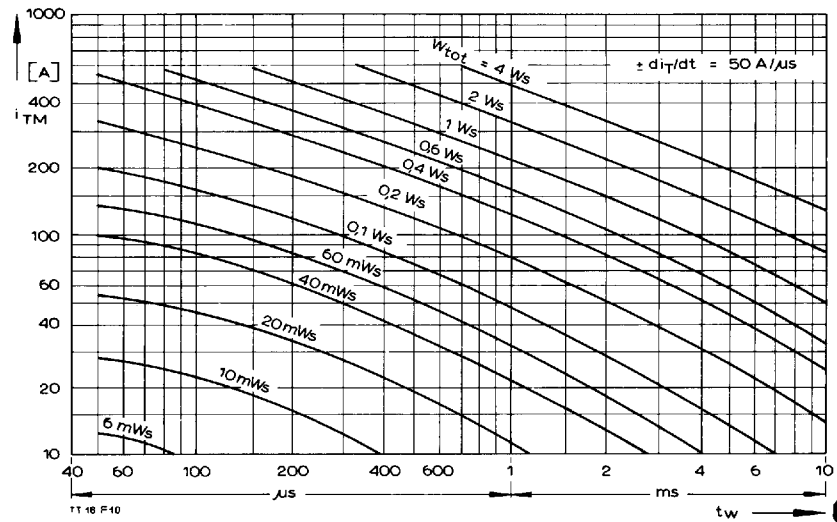


Steuergenerator/Pulse generator:  
 $v_L = 8 V$ ,  $i_G = 0,6 A$ ,  $t_a = 1 \mu s$

RC-Glied/RC network:  
 $R [\Omega] \geq 0,05 \cdot v_{DM} [V]$   
 $C \leq 0,1 \mu F$



Bild/Fig. 7



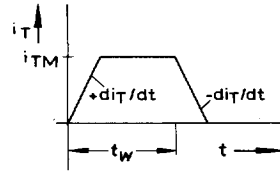
Bild/Fig. 8

## TT 18 F, TD 18 F, DT 18 F

Bild/Fig. 9, 10

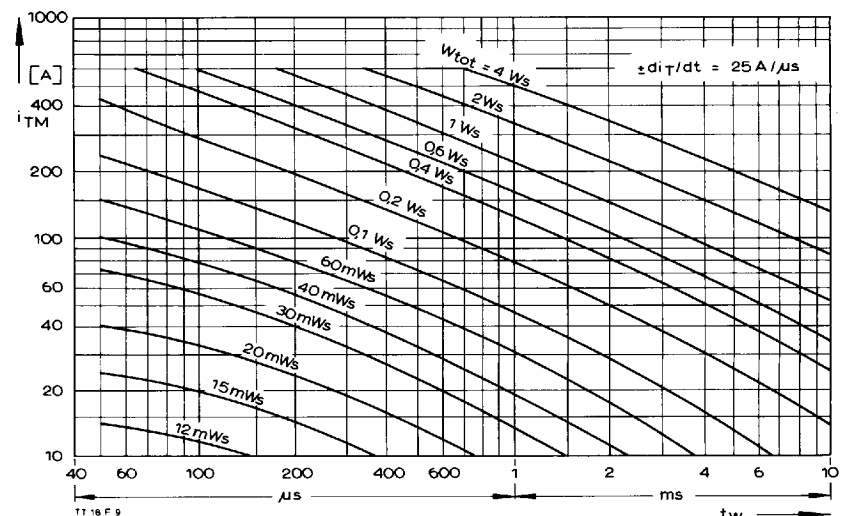
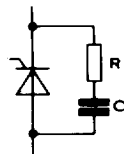
Diagramme zur Ermittlung der Gesamtenergie  $W_{tot}$  für einen trapezförmigen Durchlaß-Strompuls, für einen Zweig bei:  
der angegebenen Stromsteilheit  $di/dt$ ,  
Vorwärts-Sperrspannung  $v_{DM} \leq 0,67 V_{DRM}$ ,  
Rückwärts-Sperrspannung  $v_{RM} \leq 0,67 V_{RRM}$ ,  
Spannungssteilheit  $dv_R/dt \leq 500 V/\mu s$ .

Diagram for the determination of the total energy  $W_{tot}$  for a trapezoidal current pulse for one arm at:  
given rate of rise of on-state current  $di/dt$ ,  
forward off-state voltage  $v_{DM} \leq 0,67 V_{DRM}$ ,  
maximum reverse voltage  $v_{RM} \leq 0,67 V_{RRM}$ ,  
rate of rise of off-state voltage  $dv_R/dt \leq 500 V/\mu s$ .

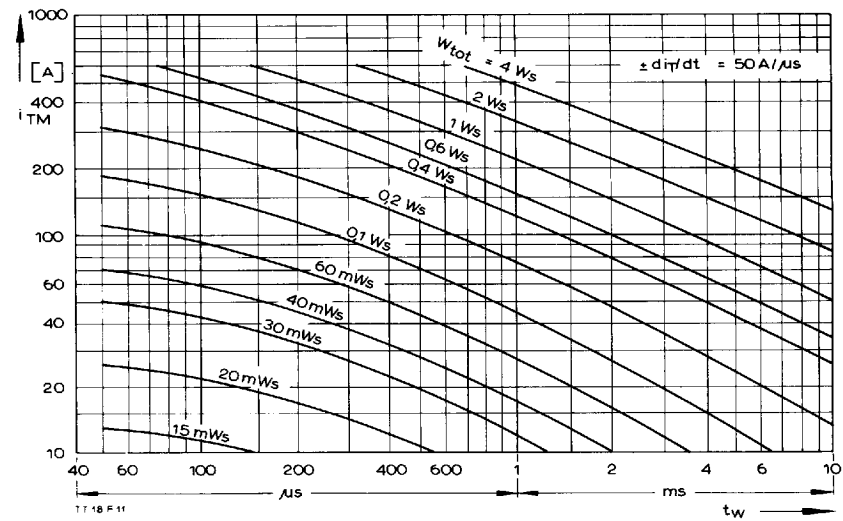


Steuergenerator/Pulse generator:  
 $v_L = 8 V$ ,  $i_G = 0,6 A$ ,  $t_a = 1 \mu s$

RC-Glied/RC network:  
 $R [\Omega] \geq 0,05 \cdot v_{DM} [V]$   
 $C \leq 0,1 \mu F$



Bild/Fig. 9

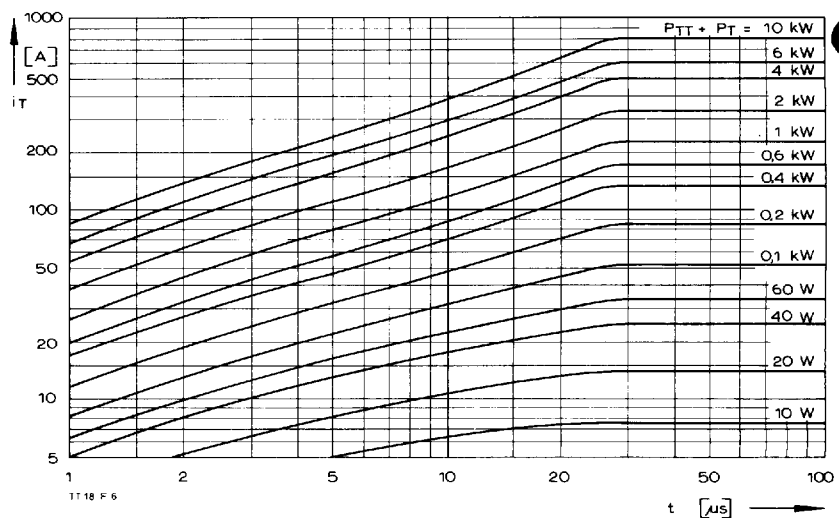


Bild/Fig. 10

## TT 18 F, TD 18 F, DT 18 F

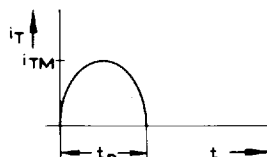
Bild/Fig. 11

Diagramm zur Ermittlung der Summe aus Einschalt- und Durchlaßverlustleistung ( $P_{TT} + P_T$ ) je Zweig.  
Diagram for the determination of the sum of the turn-on and on-state power loss per arm ( $P_{TT} + P_T$ ).



Bild/Fig. 12

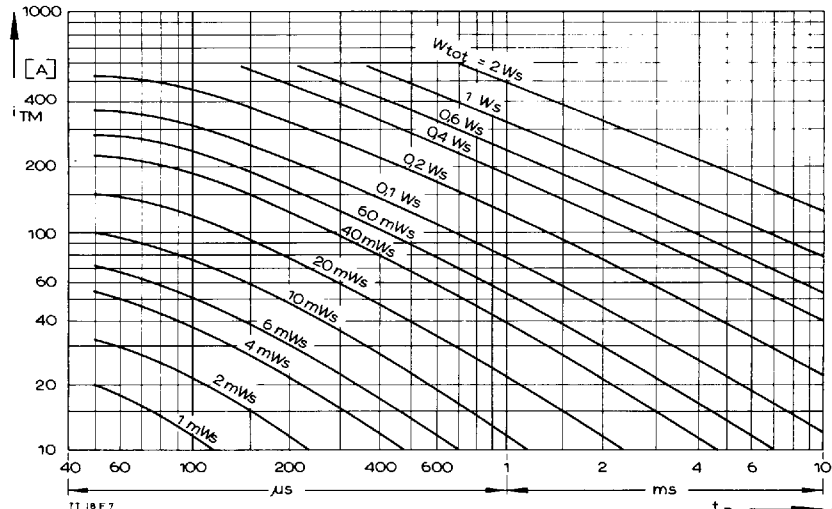
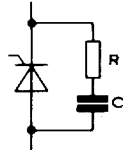
Diagramm zur Ermittlung der Gesamtenergie  $W_{tot}$  für einen sinusförmigen Durchlaß-Strompuls, für einen Zweig.  
Diagram for the determination of the total energy  $W_{tot}$  for a sinusoidal on-state current pulse for one arm.



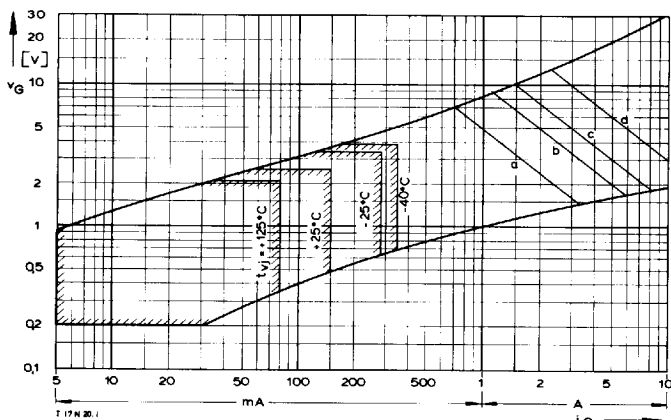
Lastkreis/load circuit:  
 $V_{DM} \leq 0,67 V_{DRM}$ ,  
 $V_{RM} \leq 50 \text{ V}$ ,  
 $dV_R/dt \leq 100 \text{ V/μs}$

Steuergenerator/Pulse generator:  
 $V_L = 8 \text{ V}$ ,  $i_G = 0,6 \text{ A}$ ,  $t_a = 1 \mu\text{s}$

RC-Glied/RC network:  
 $R [\Omega] \geq 0,05 \cdot V_{DM} [\text{V}]$ ,  
 $C \leq 0,068 \mu\text{F}$



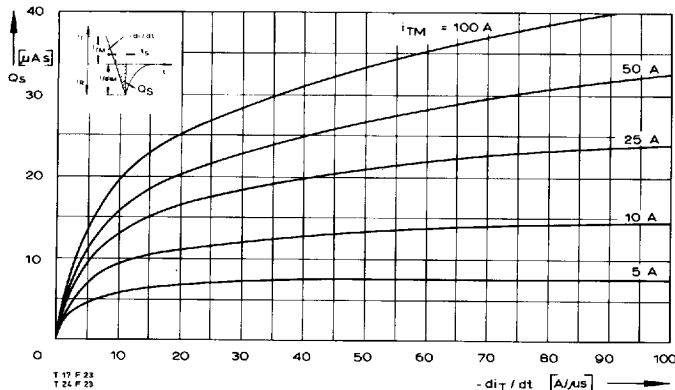
## TT 18 F, TD 18 F, DT 18 F



Bild/Fig. 13

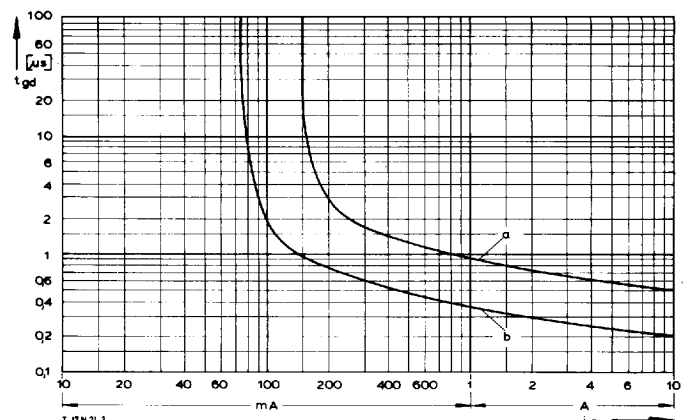
Zündbereich und Spitzensteuerleistung bei  $V_D = 6$  V.  
Gate characteristic and peak gate power dissipation at  $V_D = 6$  V.

Parameter:	a	b	c	d
Steuerimpulsdauer/Pulse duration $t_g$ [ms]	10	1	0,5	0,1
Höchstzulässige Spitzensteuerleistung/ Maximum allowable peak gate power [W]	5	10	15	30



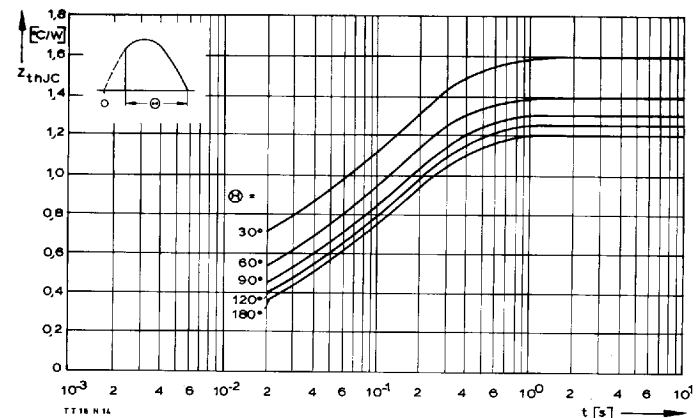
Bild/Fig. 16

Typische Abhängigkeit der oberen Nachlaufladung  $Q_S$  von der abkommunizierenden Stromsteilheit  $-dI_T/dt$  bei  $t_{vj \max}$ .  
Typical relationship between the maximum lag charge  $Q_S$  and the rate of decay of on-state current  $-dI_T/dt$  at  $t_{vj \max}$ .



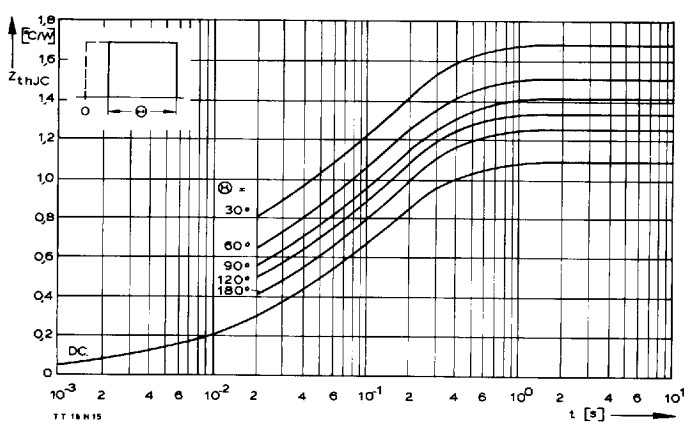
Bild/Fig. 14

Zündverzug/Gate controlled delay time  $t_{gd}$ ,  
DIN 41787,  $t_g = 1 \mu\text{s}$ ,  $t_{vj} = 25^\circ\text{C}$ .  
a – äußerster Verlauf/limiting characteristic  
b – typischer Verlauf/typical characteristic



Bild/Fig. 17

Transienter innerer Wärmewiderstand je Zweig  $Z_{thJC}$ .  
Transient thermal impedance per arm  $Z_{thJC}$ , junction to case.



Bild/Fig. 18

Transienter innerer Wärmewiderstand je Zweig  $Z_{thJC}$ .  
Transient thermal impedance, junction to case, per arm  $Z_{thJC}$ .

Pos. n	1	2	3	4	5	6	7
$R_{thn}$ [ $^\circ\text{C}/\text{W}$ ]	0,0517	0,112	0,173	0,517	0,0546	0,0778	0,114
$\tau_n$ [s]	0,00153	0,00968	0,0501	0,173	0,0282	0,132	0,418

$$Z_{thJC} = \sum_{n=1}^{n_{\max}} R_{thn} (1 - e^{-t/\tau_n})$$

Transienter Wärmewiderstand  $Z_{thJC}$  pro Zweig für DC.  
Transient thermal impedance  $Z_{thJC}$  per arm for DC.